

**ВЫЧИСЛИТЕЛЬНЫЕ АСПЕКТЫ
ВАРИАЦИОННОГО АЛГОРИТМА
ИДЕНТИФИКАЦИИ НАЧАЛЬНОГО
ПОЛЯ КОНЦЕНТРАЦИИ
ПАССИВНОЙ ПРИМЕСИ**

С.В. Кочергин, В.С. Кочергин

Морской гидрофизический институт
НАН Украины
г. Севастополь, ул. Капитанская, 2
E-mail: ko4ep@mail.ru

В работе рассматриваются вопросы согласованности модели с данными измерений и использования дополнительной информации о поле концентрации пассивной примеси.

При численной реализации вариационного алгоритма идентификации входных параметров в случае несогласованности данных измерений с моделью сходимость итерационного процесса замедляется. В этом случае использование дополнительной информации об исследуемом поле концентрации позволяет восстановить начальное поле с достаточной степенью точности. В качестве такой информации могут выступать сведения о гладкости моделируемого поля, информация о максимальных и минимальных значениях, которые накладывают определенные ограничения на вариации входных параметров.

Рассмотрим следующую одномерную модель переноса пассивной примеси в области D на интервале времени $[0, \bar{t}]$

$$\begin{aligned} \frac{\partial C}{\partial t} + U \frac{\partial C}{\partial x} &= A \frac{\partial^2 C}{\partial x^2} \\ \Gamma : C &= 0 \\ t = 0 : C &= C_0 \end{aligned} \quad (1)$$

где C – концентрация примеси, скорость $U = const$, коэффициент турбулентной диффузии $A = const$, Γ – граница области интегрирования D , $D_t = D \times [0, T]$.

На момент времени T существуют данные измерений о поле концентрации $C_{изм}$. Для идентификации входных параметров задачи вариационным методом [1] с учетом данных измерений находим минимум следующего функционала

$$I_0(C) = \frac{1}{2} (C - C_{изм}, C - C_{изм})_{D_t}, \quad (2)$$

где скалярное произведение определено следующими равенствами

$$(C, C^*)_{D_t} = \int_{D_t} C \cdot C^* dD_t = \int_0^T \int_D C \cdot C^* dD dt.$$

Минимизация квадратичного функционала (2) осуществляется при условии, что C является решением модели (1). Поэтому, поиск минимума (2) при ограничениях (1) эквивалентно минимизации функционала

$$\begin{aligned} I(C) &= I_0(C) + \left(\frac{\partial C}{\partial t} + U \frac{\partial C}{\partial x} - A \frac{\partial^2 C}{\partial x^2}, C^* \right) + \\ &(C, C^*)_{\Gamma_t} - (C - C_0, C^*)_{D_t}|_{t=0}. \end{aligned} \quad (4)$$

Следуя работе [1] выбираем множители Лагранжа как решение сопряженной задачи

$$\begin{aligned} -\frac{\partial C^*}{\partial t} - U \frac{\partial C^*}{\partial x} - k \frac{\partial^2 C^*}{\partial x^2} &= 0 \\ \Gamma : C^* &= 0 \\ t = \bar{t} : C^* &= \nabla I(C) \end{aligned} \quad (5)$$

Из условия стационарности градиент функционала определяется выражением

$$\nabla_{C_0} I(C) = C^*|_{t=0}. \quad (6)$$

Необходимо осуществлять итерационный спуск в направлении градиента (6) для поиска следующего приближения C по формуле

$$C_0^{n+1} = C_0^n + \tau \nabla_{C_0} I(C), \quad (7)$$

где τ – некоторый итерационный параметр.

Для улучшения результатов решаемой задачи часто в качестве функционала рассматривает выражение

$$\begin{aligned} I_1 &= I_0 + \frac{\alpha}{2} \left(\frac{\partial C_0}{\partial x}, \frac{\partial C_0}{\partial x} \right)_{D_t} + \\ &+ \frac{\beta}{2} \left(\frac{\partial^2 C_0}{\partial x^2}, \frac{\partial^2 C_0}{\partial x^2} \right)_{D_t}. \end{aligned} \quad (8)$$

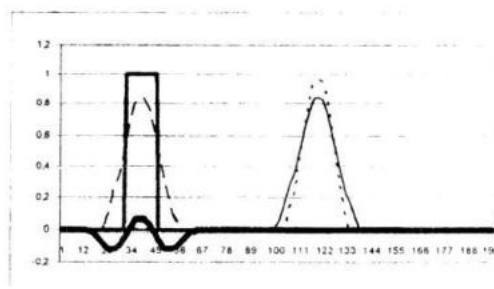
Это выражение накладывает ограничения на гладкость начального поля концентрации C_0 . При этом

$$\nabla_{C_0} I(C) = C^*|_{t=0} - \alpha \frac{\partial^2 C_0}{\partial x^2} + \beta \frac{\partial^4 C_0}{\partial x^4}. \quad (9)$$

Априорная информация об исследуемой примеси накладывает дополнительные ограничения при минимизации квадратичного функционала невязок прогноза. Согласованность модели с данными измерений оказывает существенное влияние на результат идентификации. В данной работе рассмотрим перечисленные выше аспекты вариационного алгоритма идентификации и проанализируем полученные результаты расчетов.

Численный эксперимент. Численные эксперименты проводились при следующих значениях параметров $\Delta x = 5 \cdot 10^5 \text{ см}$ (шаг по пространству), коэффициента турбулентной диффузии $A = 5 \cdot 10^5 \text{ см}^2/\text{сек}$, шага по времени $\Delta t = 400 \text{ сек}$, скорости $U = 10 \text{ см}/\text{сек}$ на временном интервале 45 суток и 4,5 суток.

На рис. 1 жирной линией показано начальное распределение поля концентрации, пунктирная линия изображает решение модели (1). При первой итерации $C_0 = 0$ и полученная по модели концентрация $C_{изм}$ на конечный момент времени является фактически невязкой прогноза. После решения сопряженной задачи имеем C_0^* (пунктирная линия на рис. 1). Эта величина с весом τ прибавляется к заданному начальному полю $C_0^0 = 0$. Найденное первое приближение задается в качестве начальных данных C_0^1 , в результате работы модели переноса пассивной примеси, получим концентрацию изображенную на рис. 1 тонкой сплошной линией. Невязкой прогноза в этом случае будет разница между результатом прогноза (тонкая сплошная линия) и данными измерений (пунктирная линия). Соответствующее решение сопряженной задачи имеет знакопеременный вид (жирная линия). Добавление такого градиента к C_0^1 с некоторым весом τ приводит к дальнейшему увеличению максимальной концентрации в начальном поле и сужению области положительных значений C_0 . При появлении отрицательных значений C_0 использовалась дополнительная информация о величине концентрации ($C \geq 0$).

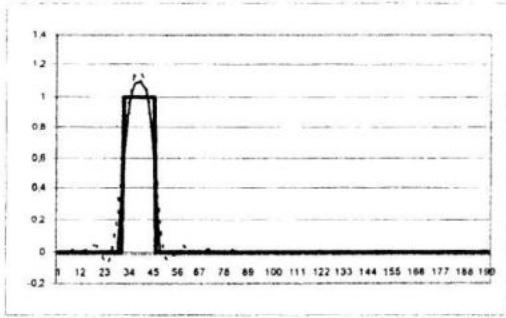


Р и с. 1. Начальное поле, решение модели и сопряженной задачи на первом шаге итерационного процесса

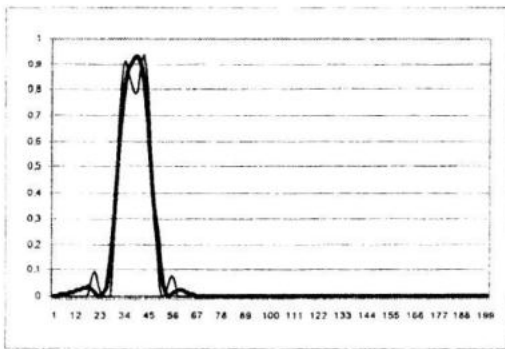
На рис. 2 представлены восстановленные начальные данные без учета условия $C \geq 0$ (штриховая линия) и с учетом положительности значений поля концентрации (сплошная линия). При этом в первом случае условная суммарная концентрация в начальном поле $S = 15.394$, а во втором расчете $S = 15.056$. То есть учет дополнительной информации позволил в результате итераций более точно восстановить истинное значение $S = 15.0$. В приведенном выше расчете в качестве данных измерений использовались результаты моделирования, полученные по модели (1) – (3) с Superbee аппроксимацией. В реальности данные измерений могут быть несогласованны с самой моделью, которая используется в алгоритме идентификации. Несогласованность может быть разного рода – это и ошибки измерений, неточность задания коэффициентов модели и так далее. Рассмотрим вариант, когда $C_{изм}$ получена при помощи расчета по одной схеме, а идентификация C_0 осуществляется при помощи алгоритма, в основе которого лежит другая разностная аппроксимация. В результате мы имитируем несогласованность модели с данными измерений. Для расчета $C_{изм}$ использовалась схема minmod, а в алгоритме идентификации использовалась Superbee аппроксимация.

Начальное поле, полученное при помощи вариационного алгоритма идентификации C_0 , за счет минимизации функционала (2) изображено на рис. 3 тонкой сплошной линией. А расчет при минимизации (8) обозначен сплошной жирной линией. Использование дополнительной информации о гладкости поля концентрации позволило изменить про-

странственную структуру найденного начального поля C_0 и улучшило согласованность с известным распределением концентрации. Проведенные расчеты были реализованы на временном интервале 45 суток. Для понимания того, как работают дополнительные члены (8) в случае когда измерения существуют не во всех узлах расчетной сетки уменьшим интервал времени до 4.5 суток.



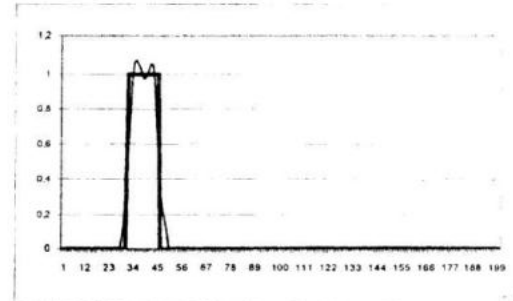
Р и с. 2. Начальное поле и восстановленное поле



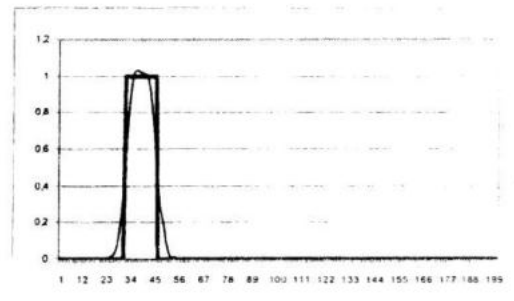
Р и с. 3. Начальное поле и восстановленное поле

На большом интервале времени вследствие работы схемной вязкости и модельной турбулентной диффузии наблюдаются удовлетворительные результаты при минимизации функционала качества прогноза (2). Восстановленное начальное поле, представленное на рис. 4, получено в результате работы алгоритма, в котором не используются дополнительные члены в функционале. На рис. 5 показано поле C_0 , полученное при минимизации (8). Коэффициенты α , β в данном расчете имели значения $5 \cdot 10^{10}$ и $1.75 \cdot 10^{21}$ соответственно. Вопрос о выборе данных коэффициентов подлежит дополнительному исследованию, так как от их значений зависит не только гладкость получаемого решения,

но и сходимость итерационного процесса. Большие значения коэффициентов α , β могут приводить к расхождению итерационного процесса. В нашем случае, во всех расчетах хорошо определяется местоположение начального пятна загрязнения, в котором сохраняется суммарная концентрация примеси.



Р и с. 4. Начальное поле и восстановленное поле



Р и с. 5. Начальное и восстановленное поле

Показано, что вариационный алгоритм идентификации начальных данных дает возможность получать начальное распределение поля концентрации согласованное с моделью и данными измерений. Найденное поле, с учетом априорной информации, может обладать заданными гладкими характеристиками. Интегральные характеристики искомого начального поля лучше восстанавливаются с учетом информации о положительности значений поля концентрации.

СПИСОК ЛИТЕРАТУРЫ

1. Пененко В.В. Методы численного моделирования атмосферных процессов. Л.: Гидрометеиздат, 1981, – 350 с.
2. Тихонов А.Н. Арсенин В.Я. Методы решения некорректных задач.- М.: Наука, 1986, – 142 с.